

**ЧИСЛЕННОЕ МОДЕЛИРОВАНИЕ ПРОЦЕССОВ СДВИЖЕНИЯ
МАССИВА ГОРНЫХ ПОРОД И ЗЕМНОЙ ПОВЕРХНОСТИ
МЕТОДОМ КОНЕЧНЫХ ЭЛЕМЕНТОВ В ОБЪЕМНОЙ
ПОСТАНОВКЕ**

д.т.н. Гавриленко Ю.Н., магистр Петрушин А.Г. (ДонТУ)

Существующие методы расчета сдвижений и деформаций земной поверхности и горных пород, приведенные в нормативно-методических документах [1, 2], позволяют прогнозировать их величины и характер распределения в пределах всей мульды сдвижения, предполагая, что очистная выработка имеет прямоугольную форму и ориентирована параллельно элементам залегания пласта. В реальных условиях эти требования выполняются очень редко.

Вместе с тем, исследования сдвижений и деформаций в пределах всей мульды сдвижения практически не проводились. Из имеющихся публикаций по данному вопросу следует отметить работы А.Н. Медянцева и А. П. Чепенко [3], Н. М. Зори и Ф.И. Музафарова [4]. В первой из них описаны результаты натуральных наблюдений по сетке квадратов. Исследования проводились для очистной выработки достаточно правильной формы и этот эксперимент является единственным в Донбассе экспериментом изучения распределений сдвижений и деформаций по площади, так как проведение таких работ очень трудоемко. Во второй работе описаны результаты физического моделирования на объемных моделях из эквивалентных материалов. Такие исследования также трудоемки и наглядное получение распределения деформаций внутри массива весьма затруднено. Указанные исследования выполнялись для правильных форм очистных выработок.

Особенности распределения сдвижений и деформаций при неправильной форме в литературе не освещались. Особенно сложными и представляющими большой интерес для изучения являются процессы деформирования в условиях нарушенного залегания (разрывные тектонические нарушения, складки).

Для решения указанных задач целесообразно использовать объемное численное моделирование.

Следует отметить, что в последние годы для моделирования всего массива и земной поверхности используются метод конечных элементов (МКЭ) и метод граничных элементов (МГЭ), с помощью которых решались плоские задачи [4, 6] как для моноклиального залегания слоев, так и в условиях складчатого залегания и при наличии разрывных тектонических нарушений. Для пространственного моделирования МКЭ применяется очень редко, в основном для

решения небольших задач. Это обусловлено сложностью хранения и решения больших систем уравнений. Однако развитие компьютерной техники в последнее время позволяет преодолеть эту проблему.

Основная концепция МКЭ [8-11] состоит в том, что искомую непрерывную величину (перемещения точек деформированного тела) аппроксимируют кусочным набором простейших функций, заданных над ограниченными конечными элементами. С помощью такой процедуры интегрирование дифференциальных уравнений аналитической постановки задачи сводится к решению системы линейных уравнений. Количественные значения неизвестной величины отыскиваются в ограниченном числе узлов области. В пределах элементов значения неизвестной функции и её производных определяются уже аппроксимирующими функциями и их производными.

В трехмерной геомеханической задаче МКЭ выделяется произвольная часть массива (рис. 1). Каждая точка в массиве имеет три степени свободы вдоль осей OX , OY и OZ , а, в целом, множество точек массива дает бесконечное число возможных перемещений. Поэтому он делится на конечное число элементов (см. рис. 1 и рис. 2).

Отдельные элементы взаимодействуют между собой только в узлах. Перемещения любой точки внутри элемента определяются перемещениями его узловых точек через аппроксимирующий полином. Величины влияния перемещений каждого узла на переме-

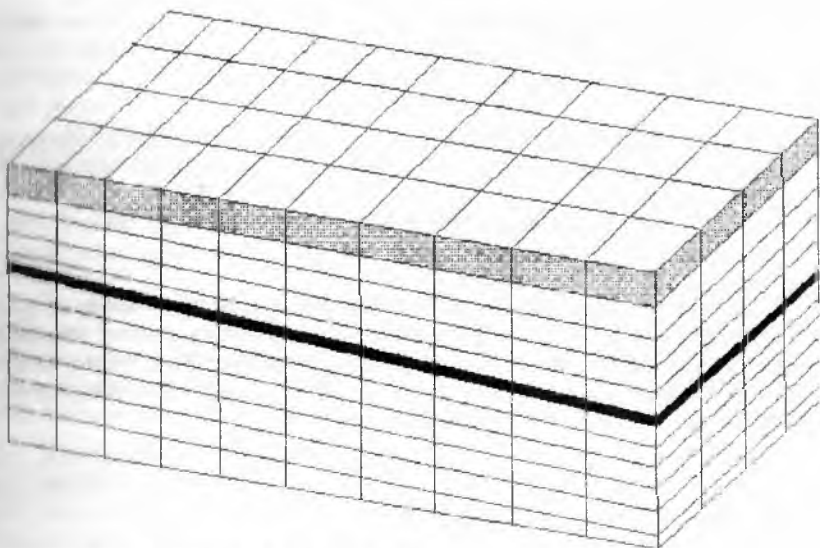


Рис. 1. Деление массива исследований на части

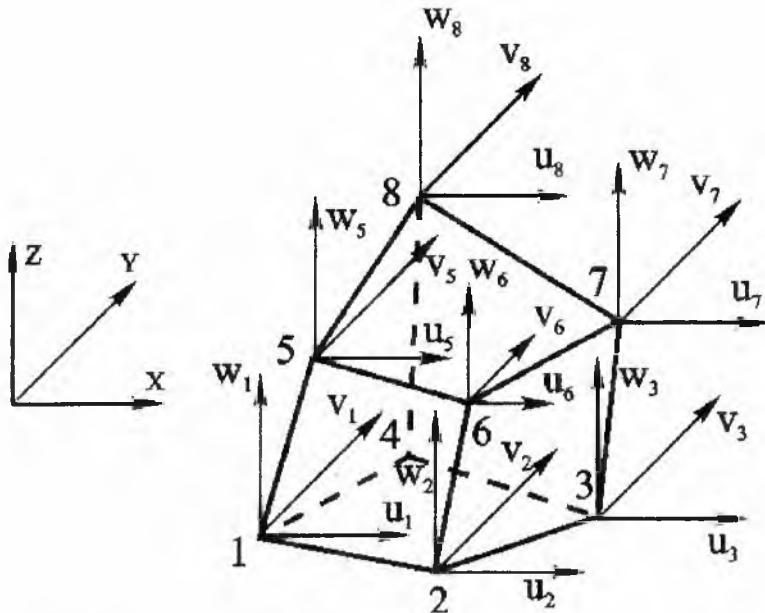


Рис. 2. Конечный элемент и возможные перемещения его узловых точек

- u_i – перемещение вдоль оси X;
- v_i – перемещение вдоль оси Y;
- w_i – перемещение вдоль оси Z.

ния внутренних точек элемента выражаются функциями формы узловых точек, которые получены на основе исходного аппроксимирующего полинома.

Для каждого элемента формируется матрица жесткости, учитывающая функции формы и упругие характеристики материала, к которому он принадлежит.

Совокупность матриц жесткости элементов дает матрицу жесткости всего массива исследования. Приравнивая работу узловых сил и работу внутренних напряжений при бесконечно малом перемещении узловых точек, получаем систему уравнений, связывающих узловые силы и неизвестные перемещения:

$$\begin{bmatrix} F_{1X} \\ F_{1Y} \\ F_{1Z} \\ F_{2X} \\ F_{2Y} \\ \vdots \\ F_{nZ} \end{bmatrix} = \int_V [B]^T \cdot [D] \cdot [B] \cdot dV \cdot [\delta] = [K] \begin{bmatrix} u_1 \\ v_1 \\ w_1 \\ u_2 \\ v_2 \\ \vdots \\ w_n \end{bmatrix} \quad (1)$$

ГДЕ:

- n – количество узловых точек,
- $[F]$ – матрица узловых сил,
- $[B]$ – матрица функций форм элементов,
- $[D]$ – матрица упругости элементов,
- $[\delta]$ – матрица узловых перемещений,
- $[K]$ – матрица жесткости системы.

Система уравнений (1) имеет $3 \cdot n$ неизвестных и $3 \cdot n$ уравнений. Матрица жесткости системы является симметричной и имеет ленточную структуру, ширина ленты которой определяется максимальной разностью номеров узловых точек, принадлежащих одному элементу.

При программной реализации пространственной модели массива наибольшие трудности вызывают создание расчетной схемы, ее описание и ввод в компьютер, а также решение больших систем линейных уравнений. Для автоматизированного решения указанных задач был разработан следующий алгоритм.

Вычисления проводятся в системе координат XYZ, где ось X направлена в сторону падения слоев, ось Y – по простиранию, а ось Z – вертикально вверх (рис. 3).

Исходными данными для создания расчетной схемы являются

- координаты узловых точек массива исследований ($X_1 \dots X_8$, $Y_1 \dots Y_8$, $Z_1 \dots Z_8$, рис.3), включающего в себя очистную выработку и зону её влияния. Условно принято, что направление (1-2) параллельно оси абсцисс, а направление (1-4) параллельно оси ординат;
- координаты любой точки $P(X, Y, Z)$, принадлежащей поверхности кровли пласта;
- угол падения пласта δ ;
- мощность пласта m ;
- координаты проекций угловых точек лавы на горизонтальную плоскость;
- мощность наносов h ;

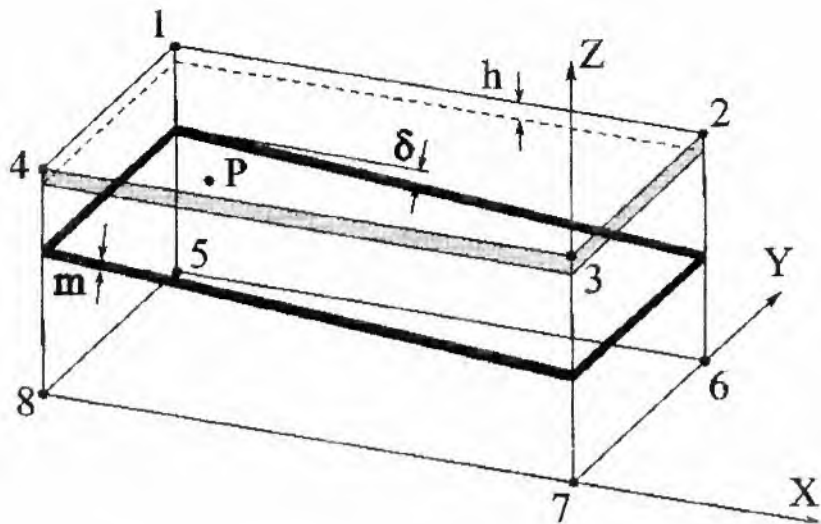


Рис. 3. Исходные данные для построения расчетной схемы

• деформационные характеристики отдельных слоев массива, пластов и наносов.

Для граний массива исследования необходимо задать граничные условия: ограничить массив жестким каркасом. Для боковых X и Y граней задаются нулевые перемещения вдоль осей X и Y соответственно, а для нижней грани – нулевые перемещения вдоль оси Z .

Система узловых точек программно формируется путем пересечения трех взаимно перпендикулярных систем плоскостей:

- системы вертикальных плоскостей, параллельных оси абсцисс.
- системы вертикальных плоскостей, параллельных оси ординат.
- системы плоскостей, определяющих деление массива на слои, которые примерно параллельны плоскости пласта.

В зоне влияния очистной выработки частота плоскостей всех трех систем возрастает. Плоскости третьей системы при пологом залегании слоев постепенно изменяют угол своего наклона от угла падения δ в кровле и почве пласта, становясь горизонтальными на нижней границе схемы и на границе коренных пород и наносов (см. рис. 1).

Так как нумерация узлов элемента определяет ширину ленты матрицы жесткости системы, то точки нумеруются вдоль грани массива, площадь которой является наименьшей.

Очистная выработка заключается в регулярную сетку прямоугольников, стороны которых параллельны осям абсцисс и ординат

ответственно. Размеры сторон определяется оператором для однозначного описания конфигурации, расположения и подвигания забойки. Узловые точки сетки, имитирующей пласт с выработкой, могут быть перемещены с помощью манипулятора мышь в любом направлении, описывая любую форму очистной выработки (рис. 4). Затем координаты точек в общей расчетной схеме программно корректируются с учетом формы лавы. Здесь же определяются, какие из элементов подлежат выемке и на каком шаге отработки. Число контурных точек лавы в принципе не ограничено.

Определение сдвижений и деформаций выполняется в несколько шагов. На нулевом шаге определяются перемещения узловых точек и напряжения в элементах под действием собственного веса массива. Это состояние соответствует напряженному состоянию нетронутого массива. На первом и последующих шагах из расчетной схемы удаляются элементы, моделирующие очистную выработку, путем присвоения им определенных пониженных характеристик. Разность соответствующих перемещений узловых точек любого шага отработки и нулевого дает сдвижения массива исследований, вызванные очистной выработкой. Используя перемещения узловых точек можно перейти к деформациям и напряжениям элементов.

Для получения расчетной схемы при наличии разрывного тектонического нарушения необходимо внести изменения в направление системы плоскостей, параллельной оси абсцисс или ординат, в зависимости от того, с какой из осей сместитель образует меньший угол. Плоскости, определяющие границы нарушенной зоны строятся параллельно сместителю. А остальные постепенно из-

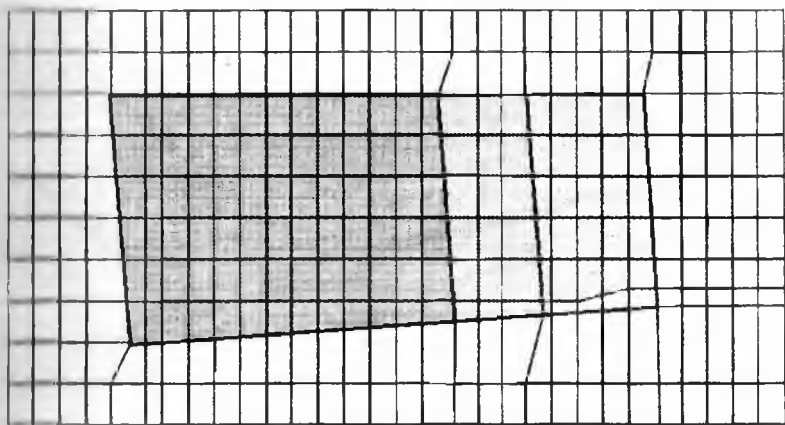


Рис. 4. Задание формы лавы и подвигания забоя

меняют угол своего разворота от угла простираения и падения сместителя до угла соответствующей оси координат в направлении к границам массива исследований, т.е. используется тот же принцип, что и для системы плоскостей, определяющих напластование пород (рис. 5).

Особое внимание следует уделить описанию свойств среды моделирования. В работах [5, 6] показано, что наибольшие совпадения фактических оседаний и деформаций с расчетными данными были получены при использовании трансверсально-изотропной среды с модулем сдвига в перпендикулярном напластованию направлении равным 10% от модуля сдвига изотропного массива. Учитывая слоистую структуру массива, для её описания целесообразно применить трансверсально-изотропную модель (рис. 6), т.е. когда в пределах слоя свойства не изменяются.

Параметрами, используемыми для формирования матрицы упругости, согласно [8-11,15] являются модуль упругости E_1 , коэффициент Пуассона ν_1 в направлении слоистости и модуль упругости E_2 , модуль сдвига G_2 , коэффициент Пуассона ν_2 поперек напластования. Тогда, согласно [15], матрица упругих характеристик имеет вид:

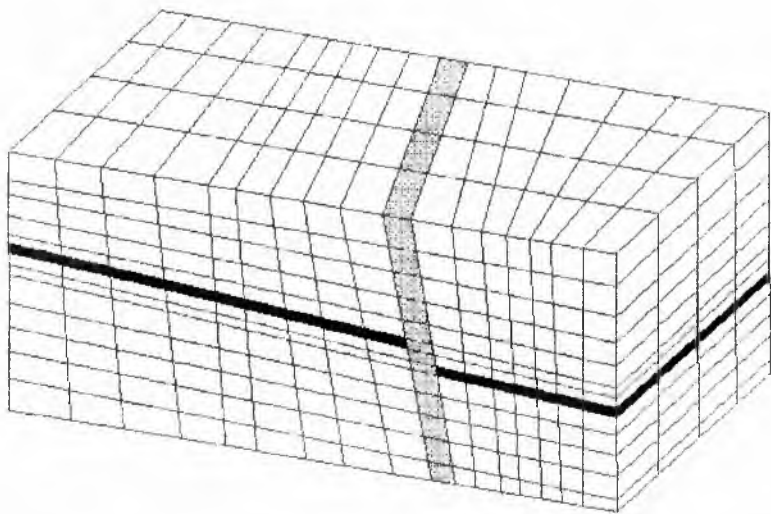


Рис. 5. Деление массива на части при наличии разрывного тектонического нарушения

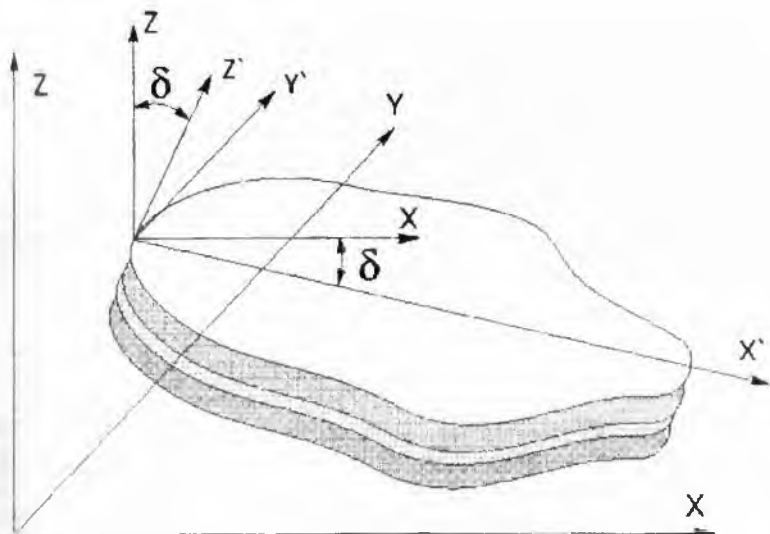


Рис. 6. Трансверсально-изотропная модель массива

$$[D] = \begin{bmatrix} D_1 & D_2 & D_3 & 0 & 0 & 0 \\ D_2 & D_1 & D_3 & 0 & 0 & 0 \\ D_3 & D_3 & D_4 & 0 & 0 & 0 \\ 0 & 0 & 0 & D_5 & 0 & 0 \\ 0 & 0 & 0 & 0 & D_6 & 0 \\ 0 & 0 & 0 & 0 & 0 & D_6 \end{bmatrix} \quad (2)$$

где:

$$D_1 = \frac{E_1 \cdot (E_1 \cdot \nu_2^2 - E_2)}{(2 \cdot \nu_2^2 \cdot E_1 - E_2 + \nu_1^2 \cdot E_2 + 2 \cdot \nu_1 \cdot \nu_2^2 \cdot E_1)};$$

$$D_2 = \frac{-E_1 \cdot (E_1 \cdot \nu_2^2 + \nu_1 \cdot E_2)}{(2 \cdot \nu_2^2 \cdot E_1 - E_2 + \nu_1^2 \cdot E_2 + 2 \cdot \nu_1 \cdot \nu_2^2 \cdot E_1)}$$

$$D_3 = \frac{-E_2 \cdot \nu_2 \cdot E_1}{(\nu_1 \cdot E_2 + 2 \cdot \nu_2^2 \cdot E_1 - E_2)}; D_4 = \frac{E_2^2 \cdot (\nu_1 - 1)}{(\nu_1 \cdot E_2 + 2 \cdot \nu_2^2 \cdot E_1 - E_2)};$$

$$D_5 = \frac{E_1}{2 \cdot (\nu_1 + 1)}; D_6 = G_2$$

Но эта формула действительна только, когда направление осей расчетной системы координат совпадает с направлением осей координат слоя, т.е. слой горизонтален. В противном случае возникает ситуация, представленная на рис. 6, когда система координат пласта $X'Y'Z'$ развернута по отношению к системе координат расчета XYZ . Тогда матрицу упругости необходимо умножить на тензор преобразования, чтобы привести её параметры в расчетную систему координат. Согласно [13, 14] тензор преобразования, когда система координат пласта повернута на угол падения пласта вокруг оси ординат, выглядит следующим образом:

$$[T] = \begin{bmatrix} T_1^2 & 0 & T_2^2 & 0 & 0 & T_1 \cdot T_2 \\ 0 & 1 & 0 & 0 & 0 & 0 \\ T_3^2 & 0 & T_1^2 & 0 & 0 & T_1 \cdot T_3 \\ 0 & 0 & 0 & T_1 & T_2 & 0 \\ 0 & 0 & 0 & T_3 & T_1 & 0 \\ T_1 \cdot T_3 & 0 & T_1 \cdot T_2 & 0 & 0 & T_2 \cdot T_3 + T_1^2 \end{bmatrix} \quad (3)$$

где:

$$T_1 = \cos \delta ; T_2 = \cos(90^\circ + \delta) ; T_3 = \cos(90^\circ - \delta).$$

Описанный алгоритм реализован в программе на платформе операционной системы Windows. Программа включает в себя:

- модуль подготовки исходных данных;
- модуль формирования расчетной схемы;
- модуль формирования матрицы жесткости системы и решения системы уравнений;
- модуль анализа полученных результатов.

Для решения трехмерных задач требуется много оперативной и дисковой памяти. Так, для решения задачи с 3000 узловых точек, что соответствует 9000 уравнений. объем памяти, необходимой для хранения матрицы, составляет примерно 100 Мб. Для решения системы уравнений используется модифицированный фронтальный метод [9, 12], что позволяет решить практически любую систему, но увеличивает время её решения. Разработанный алгоритм предусматривает:

- пологое падение пластов;
- количество узловых точек не более 2 000 000;
- наличие свободой дисковой памяти, обеспечивающей хранение решаемой части матрицы жесткости системы (из расчета 1Мб на 30 узлов).

Для проверки работоспособности алгоритма была составлена следующая расчетная схема:

- горизонтальное залегание пласта, мощность 1 м.;

- глубина залегания – 200 метров;
- размеры лавы: 400x200 м.;
- наносы и мезозойские отложения отсутствуют;
- размеры массива исследования: 750x550x300 м;
- упругие характеристики массива и пласта:

$$E_1, E_2 = 1 \cdot 10^9, \text{ ПА}$$

$$\nu_1, \nu_2 = 0,2$$

$$G_2 = 6 \cdot 10^7, \text{ ПА}$$

$$\gamma = 2,5 \cdot 10^5, \text{ кг/м}^3$$

- размеры сторон элементов: от 30 до 70 м;
- всего схема включает: 2850 узловых точек и 2268 элементов;
- общее число уравнений 8550.

По результатам расчетов были построены графики смещений и деформаций в главных сечениях муьды сдвижения. Для сопоставления и оценки данная задача была решена по методике «Правил охраны ...» [1] и по программе плоской задачи МКЭ, достоверность и надежность которой была доказана в работах [5, 6]. Полученные результаты представлены на рис. 7, 8, 9, 10 и 11.

Качественная картина процесса сдвижения соответствует существующим представлениям о характере распределения смещений и деформаций, а количественные значения отличаются от полученных по другим методикам не более чем на 5÷10%.

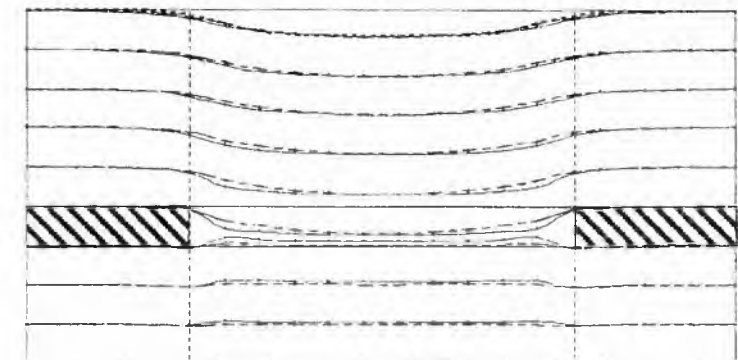
Типовая кривая оседаний, полученная по результатам объемной задачи, и нормативная типовая кривая [1] практически совпадают (см. рис. 8).

По полученным результатам смещений и деформаций были определены основные параметры процесса сдвижения (в скобках даны параметры по нормативам «Правил охраны ...» [1]):

- максимальное оседание $\eta_{\max} = 663 \text{ мм}$ (640 мм);
- граничные углы $\gamma_0 = \beta_0 = \delta_0 = 62,5^\circ$ (70°);
- углы полных оседаний $\psi_1 = \psi_2 = \psi_3 = 57^\circ$ (55°);
- угол максимального оседания $\theta = 90^\circ$ (90°);
- расстояние от точки перегиба кривой оседаний до проекции границы выработки $(9,1 \div 16,7) \cdot \frac{D}{H}$;
- длина зоны зависания пород кровли у границ выработки равна 35 м.

По результатам работы можно сделать следующие выводы:

- разработана технология прогноза пространственных смещений и деформаций земной поверхности, учитывающая геологическое строение подрабатываемой толщи (наличие разрывных текто



-370 -320 -270 -220 -170 -120 -70 -20 30 80 130 180 230 280 330
 — Объемная задача - - - - - Плоская задача - · - · - - Правила охраны

Рис. 7. Общая картина сдвижения в главном сечении мульд сдвижения по длинной стороне очистной выработки

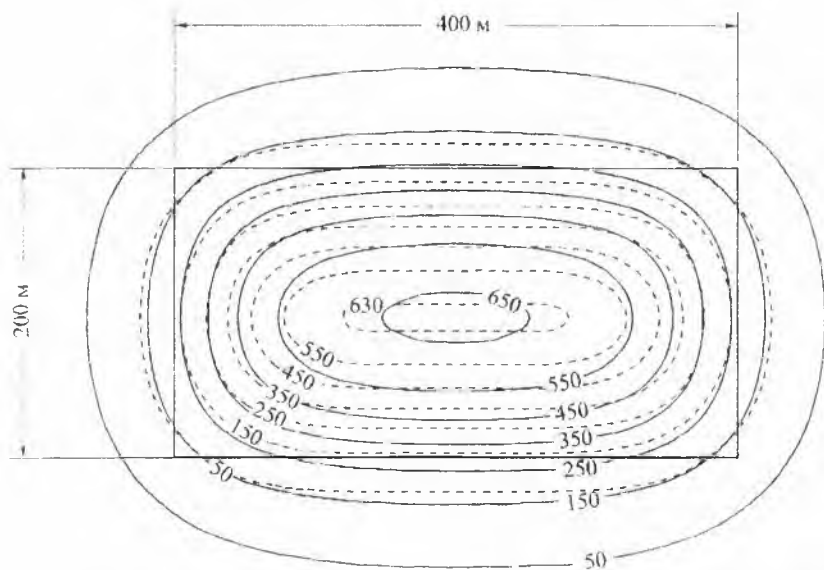


Рис. 8. Оседания земной поверхности после отработки очистной выработки
 правила охраны —————
 объемная модель - - - - -

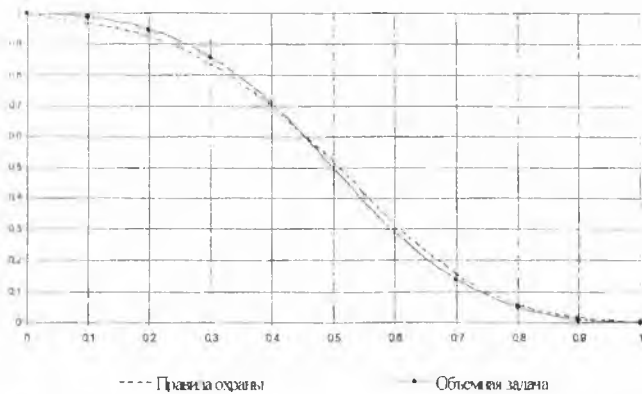


Рис. 9. Графики типовых кривых оседаний

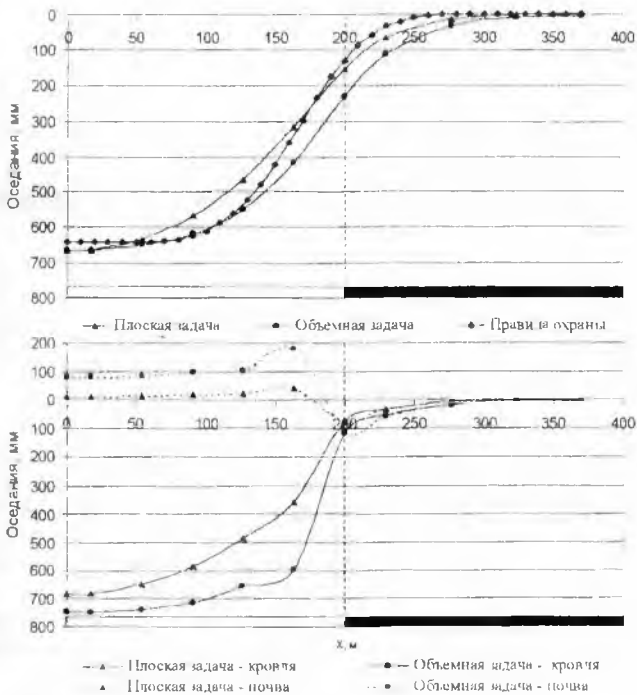


Рис. 10. Графики оседаний в главном сечении муьды сдвижения по длинной стороне очистной выработки

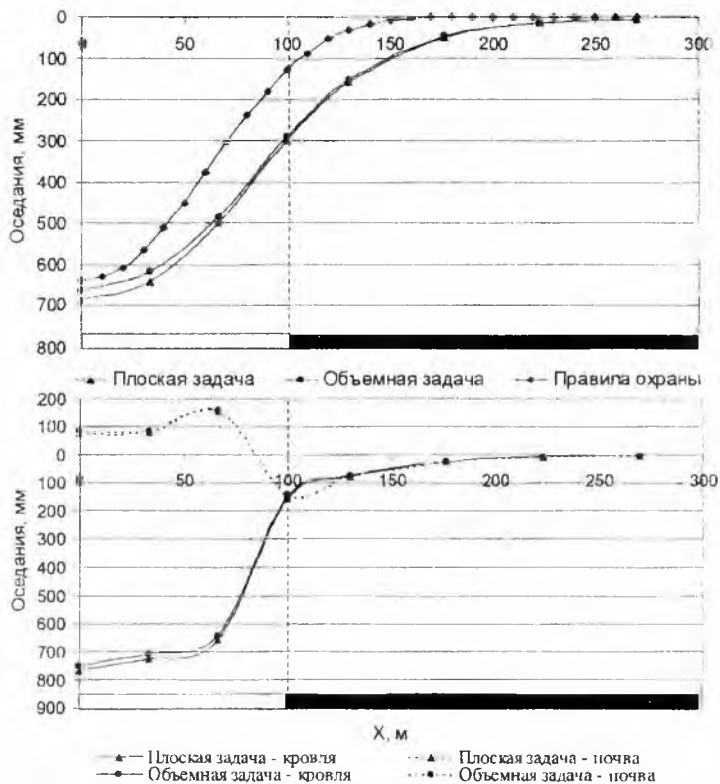


Рис. 11. Графики оседаний в главном сечении мульды сдвижения по короткой стороне очистной выработки

нических нарушений), форму лавы и ее ориентацию относительно элементов залегания пласта;

- разработана действующая компьютерная технология пространственного математического моделирования процессов сдвижения и деформаций земной поверхности МКЭ для пологих угольных пластов, произвольной формы и ориентации очистной выработки;
- представление массива в виде трансверсально-изотропной среды с пониженным модулем сдвига позволяет получить совпадение сдвижений и деформаций объемной модели с прогнозируемыми по «Правилам охраны ...» [1] с точностью $5 \div 10\%$.

СПИСОК ЛИТЕРАТУРЫ

1. Принципы охраны сооружений и природных объектов от вредного влияния подземных горных разработок на угольных месторождениях. – М.: Недра, 1981, 288 с.
2. Временные технические условия по охране сооружений и природных объектов от влияния горных разработок. УкрНИМИ, 1995 г.
3. А.Н. Медянецев, А.П. Чепенко Распределение сдвижений и деформаций земной поверхности по площади мульды сдвижения вне ее главных сечений // Труды по вопросам горного давления, сдвижения горных пород и методики маркшейдерских работ. Сборник № 55. – Л.: ВНИМИ, 1965, – с. 54 –66.
4. Н.М. Зоря и Ф.И. Музафаров. Исследование процесса сдвижения на объемных моделях из эквивалентных материалов // Маркшейдерское дело в социалистических странах. – М.: Недра, 1964, 360 с. – С.157 – 172.
5. Ю.Н. Гавриленко. Математическое моделирование сдвижения горных пород и земной поверхности в слоистом массиве методом конечных элементов // Известия Донецкого горного института. – 1997. - №1. – С.87 – 93.
6. Ю.Н. Гавриленко. Автореферат: Научные основы прогнозирования сдвижений земной поверхности при разработке угольных пластов в условиях нарушенного залегания пород. – Донецк, 1997.
7. Zhiwang Fan. Grundlage und Modellierung der Boundary-Elemente-Methode fuer die Anwendung in der Bergschadenkunde. Das Markscheidewessen 105 № 2, Verlag Glueckauf GmbH, Essen, 1988, -S. 179 –185.
8. О. Зенкевич, И. Чанг. Метод конечных элементов в теории сооружений и механике сплошных сред. – М.: Недра, 1974, 240 с.
9. А.Б. Фадеев. Метод конечных элементов в геомеханике. – М.: Недра, 1987, 221 с.
10. О. Зенкевич. Метод конечных элементов в технике. – М.: Мир, 1975, 539 с.
11. Б.З. Амосин, А.Б. Фадеев. Метод конечных элементов при решении задач горной геомеханики. – М.: Недра, 1975, 192 с.
12. Уилкинсон, Райнш. Справочник алгоритмов на языке АЛГОЛ. Линейная алгебра. – М.: Машиностроение, 1976, 389 с.
13. П. Бенерджи, Р. Баттерфилд. Метод граничных элементов в прикладных науках. – М.: Мир, 1984, 494 с.
14. Studienunterlagen “ Bodenmechanik und Grundbau ” von U.Smaltezyk und anders. Ausgabe 1988.
15. С.Г. Лехницкий. Теория упругости анизотропного тела. – М.: Наука, 1977, 415 с.